

Свойства и поведение под облучением карбидных, нитридных, фосфидных и других топливных композиций

Т. С. МЕНЬШИКОВА, Ф. Г. РЕШЕТНИКОВ, В. С. МУХИН, Г. А. РЫМАШЕВСКИЙ,
И. Г. ЛЕБЕДЕВ, А. Л. ЭПШТЕЙН

(Государственный комитет по использованию атомной энергии СССР)

В настоящее время большое внимание уделяется изучению карбидного горючего, которое по ряду свойств (более высокая теплопроводность, большая плотность по делящемуся элементу) превосходит окисное. Использование карбидного горючего может значительно улучшить такую важную характеристику быстрых реакторов, как время удвоения, что благоприятно отразится на экономике топливного цикла. С этой точки зрения интересными композициями являются также нитриды, фосфиды урана и плутония.

Опыт эксплуатации в СССР реактора БР-5 с карбидной зоной подтвердил реальную возможность использования карбидного горючего в быстрых реакторах. Вместе с тем исследования последних лет [1] показали, что карбидное горючее имеет и ряд недостатков: при высоких температурах (1500°C) распухает больше, чем окисное, и науглероживает оболочку. Следовательно, для того чтобы реализовать преимущества карбидного горючего, необходимо разработать соответствующую конструкцию твэла. Так, для снижения температуры сердечника целесообразно применять в зазоре «топливо — оболочка» подслой с хорошей теплопроводностью (например, Na). Однако применение натрия ухудшает совместимость с оболочкой, так как натрий переносит избыточный углерод и карбидизирует оболочку. Но имеются пути устранения или по крайней мере существенного уменьшения карбидизации оболочки. Это: 1) получение карбидов состава, близкого к стехиометрическому; 2) легирование карбидов элементами, легко образующими соединения с углеродом; 3) нанесение на сердечник защитных покрытий, а также некоторые другие способы защиты оболочки от карбидизации. Какой из этих путей окажется более действенным в условиях облучения — это является предметом многих исследований.

Довольно много работ (например, [1—8]) посвящено также изучению физико-механических, радиационных, термодинамических и других свойств тугоплавких соединений урана и плутония. Однако имеется необходимость в дополнительном изучении оптимальных методов изготовления изделий из тугоплавких соеди-

нений урана и плутония, в исследовании их свойств, изучении распухания, совместимости и газовыделения в условиях реакторного облучения. Рассмотрению этих вопросов посвящен настоящий доклад.

Получение тугоплавких соединений урана и плутония

Тугоплавкие (бескислородные) соединения урана и плутония могут быть получены различными способами. В частности, карбиды указанных металлов получают преимущественно по реакции взаимодействия окислов с углеродом. Второй возможный способ получения карбидов — газовая карбидизация соответствующих металлов. Несмотря на то что металл дороже окислов, последний способ имеет ряд преимуществ. Низкие температуры процессов, простота аппаратурного оформления в сочетании с возможностью значительной механизации и автоматизации операций получения сердечников твэлов делают этот метод привлекательным и заслуживающим обсуждения. В связи с этим было признано целесообразным дополнительно изучить методы получения монокарбида, а также мононитрида урана карбидизацией или нитрированием мелкодисперсного порошка урана или его гидрида соответственно пропаном или азотом.

Проведенные исследования показали, что, изменяя температуру и продолжительность процесса карбидизации, можно получать карбид урана заданного состава в широком диапазоне — от гипостехиометрического монокарбида до дикарбида. Этот метод позволяет, в частности, в крупном масштабе получать стехиометрический монокарбид урана в виде порошка крупностью $2\text{--}6 \mu\text{m}$ и параметром решетки $a = 4,961 \text{ \AA}$. Содержание кислорода в нем составляет не более 0,05%.

Мононитрид урана получали взаимодействием дисперсных порошков урана или его гидрида с азотом при $450\text{--}700^{\circ}\text{C}$ с последующим разложением образующегося при этом полуторного нитрида в вакууме при $900\text{--}950^{\circ}\text{C}$ до мононитрида. Полученный мононитрид содержал 5,4—5,5% азота; параметр его решетки был равен $4,889 \text{ \AA}$; крупность порошка

ка мононитрида составляла в среднем 15—30 мкм. При изготовлении сердечников из мононитрида спекание проводилось в атмосфере азота при 1800—2000° С. Получение полуторного нитрида урана может быть осуществлено в виде непрерывного процесса.

Монокарбид плутония изготавливали гидрированием металлического плутония и последующей карбидизацией его углеродом при температуре 400—800° С. Твердый раствор монокарбидов урана и плутония получали смешиванием исходных порошков и дальнейшим спеканием при температуре 1200—1600° С. Высокая поверхностная активность получаемых порошков позволила упростить и автоматизировать изготовление сердечников твэлов в виде втулок и брикетов с регулируемой и высокой плотностью (93—96% от теоретической) с использованием пресс-автомата или многогнездных пресс-форм. Изготовление сердечников производилось смешением исходных порошков с одним процентом 1,5%-ного раствора парафина или олеиновой кислоты в бензине, прессованием при давлении 1,5—2 т/см² и спеканием в вакууме при 1600—1800° С в течение 3—4 ч. Полученные изделия с плотностью 93—95% от теоретической имели крупность зерна в среднем 30—50 мкм, кристаллы равноосные. При изготовлении сердечников для опытных твэлов БОР-60 и СМ-2 содержание кислорода в монокарбидных и мононитридных сердечниках составляло соответственно 0,02—0,05 и 0,1%. Характерные микроструктуры соединений представлены на рис. 1, а и б. Сульфиды и фосфиды урана и плутония получаются по этой же схеме, только углерод заменяется соответственно сероводородом и фосфином.

Для получения нитридов и карбидов урана и плутония и изготовления из них сердечников создана установка, состоящая из восьми последовательно соединенных металлических камер и дополнительного оборудования (аппаратов

с электропечами для получения исходных соединений, прессов, вакуумно-компрессионных электропечей для спекания, весов, пультов управления и т. д.). Общий вид этой установки представлен на рис. 2.

Свойства карбида, нитрида, сульфида и фосфида урана

Механические и теплофизические свойства. Для уточнения отдельных, подчас разрозненных и противоречивых литературных данных было предпринято исследование при температурах преимущественно до 2000° С теплопроводности λ и электросопротивления ρ , теплоемкости C_p , давления паров урана P_U , прочности на сжатие σ_b , твердости H_v , модуля упругости E , коэффициента линейного расширения α UC, UN, U—C—N, US и UP.

Образцы были изготовлены металлокерамическим методом, их пористость составляла 5—10% (приводимые значения λ , ρ , E , C_p соответствуют беспористому состоянию); содержание неметаллических компонентов было близким к стехиометрическому (в структуре UP и US наблюдалось до 2—5 вес.% окисных включений).

Измерения прочности и других свойств проводились в вакууме; твердость определялась по вдавливанию сапфирового индентора при нагрузке 2 кг; модуль упругости определялся резонансным методом на образцах с отношением $l/d \geq 10$. Давление пара исследовалось интегральным вариантом метода Кнутсена. Теплопроводность при 20—1000° С рассчитывалась из результатов измерений температуропроводности и теплоемкости, для более высоких температур измерялась методом радиального теплового потока (одновременно проводилось определение ρ). Термическое расширение исследовалось на индукционном кварцевом дилатометре.

Погрешность в определении λ и P_U не выше 15%, модуля упругости — 5%, термического расширения — 3%.

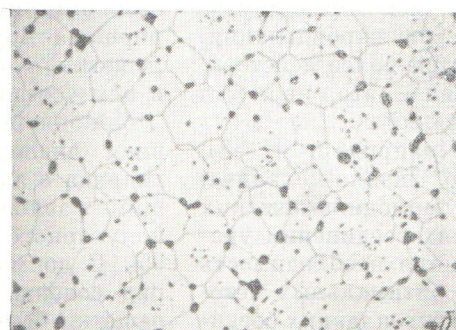
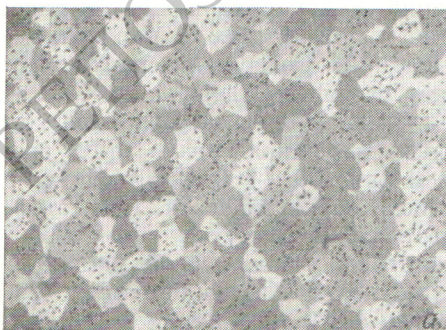


Рис. 1. Микроструктура изделий, полученных методом газовой карбидизации:
а — карбид урана; б — нитрид урана ($\times 200$).

Рис. 2. Общий вид установки для получения карбидов и нитридов урана.



На рис. 3—5 приведены температурные зависимости σ_b , E , H_v , P_i , λ , ρ , C_p для карбида, нитрида, сульфида и фосфida урана, а на рис. 6 — концентрационное изменение свойств в системе UC — UN. Сравнение температурного изменения σ_b , H_v , E , а также деформации (см. рис. 3) приводит к выводу о том, что сульфида и в особенности фосфida значительно пластичнее карбидов и нитридов. Это проявляется как в отсутствии характерного для хрупких фаз некоторого повышения прочности с ростом температуры, так и в заметной деформации при $T > 1000^\circ\text{C}$. Трещины около отпечатков при измерении твердости у фосфидных образцов не наблюдались даже при комнатной температуре (у других соединений температура, при которой исчезали трещины, составляла 1000—1200°С). Обращает на себя внимание и довольно низкое значение модуля упругости у фосфидов урана, что в сочетании с отмеченной «пластичностью» обуславливает более высокую по сравнению с карбилем и нитридом урана термопрочность. Наши результаты определения σ_b , E , H_v неплохо согласуются с литературными данными [9—11].

Наиболее низкое давление паров урана среди исследованных соединений наблюдается у кар-

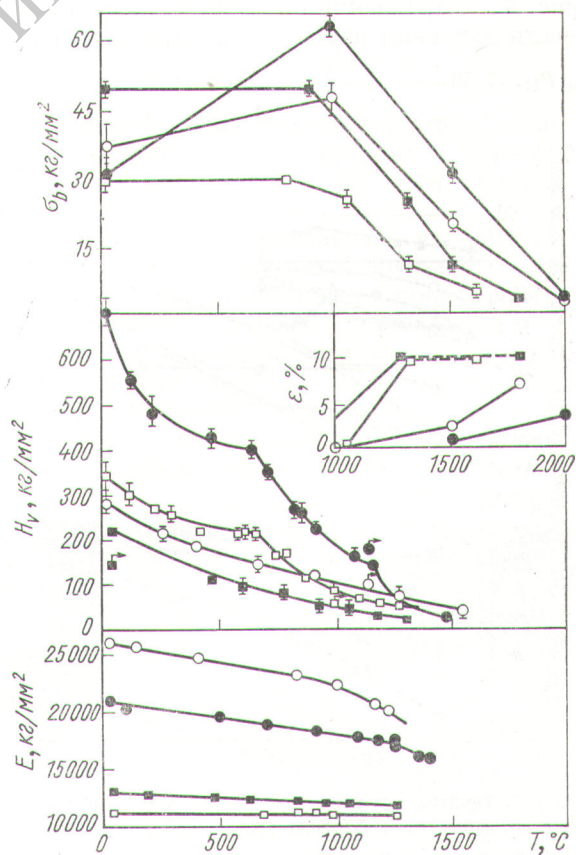


Рис. 3. Влияние температуры на σ_b , H_v , E и деформацию карбида (●), нитрида (○), сульфида (□) и фосфida урана (■).

Стрелками отмечены температуры исчезновения трещин у отпечатков при измерении твердости.

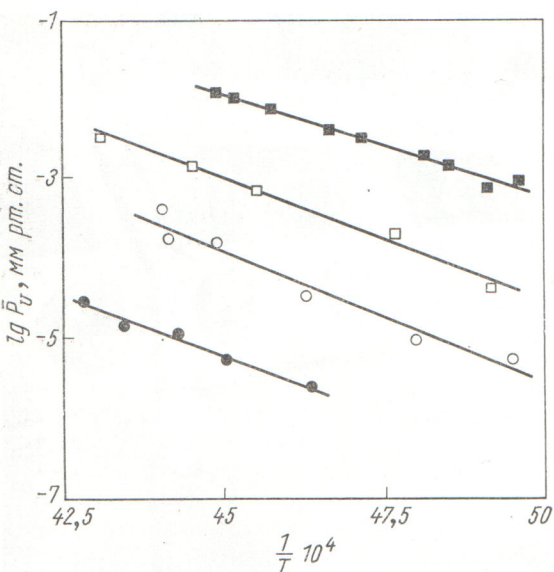


Рис. 4. Давление пара урана для карбива, нитрида, сульфида и фосфива урана.

Обозначения те же, что и на рис. 3.

бита, наиболее высокое — у фосфива (см. рис. 4). Выражения для температурной зависимости давления паров (мм рт. ст.) имеют вид:

$$\lg P_U = 7,56 - \frac{2,86 \cdot 10^4}{T}, \quad T = 2170 - 2470^\circ\text{K},$$

$$\text{U(C}_{0,99}\text{N}_{0,005}\text{O}_{0,005}\text{),}$$

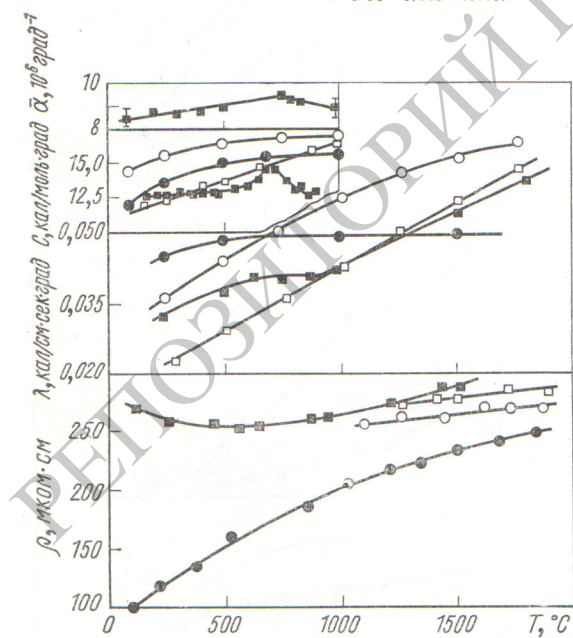


Рис. 5. Температурное изменение λ , q , C_p , α карбива, нитрида, сульфида и фосфива урана.

Обозначения те же, что и на рис. 3.

$$g P_U = 8,43 - \frac{2,74 \cdot 10^4}{T}, \quad T = 1850 - 2300^\circ\text{K},$$

U ($N_{0,98}O_{0,01}C_{0,01}$)

$$\lg P_U = 9,75 - \frac{2,84 \cdot 10^4}{T}, \quad T = 1940 - 2530^\circ\text{K}, \text{ US*},$$

$$\lg P_U = 11,34 - \frac{2,94 \cdot 10^4}{T}, \quad T = 1920 - 2230^\circ\text{K}, \text{ UP*}.$$

Для фосфива и сульфида характерно конгруэнтное испарение; давление пара урана для карбива и нитрида существенно зависит от отклонений от стехиометрического состава. Применительно к карбику урана эта зависимость на основе данных [6, 12] с использованием статистико-термодинамических представлений обсуждена в работе [6]. Показано, что давление паров уменьшается с повышением комплексности неметаллической подрешетки с учетом содержания всех элементов внедрения.

Наши данные для нитрида урана существенно ниже (на один—полтора порядка) результатов [6, 13], полученных на достехиометрических образцах. Результаты масс-спектрометрических исследований моносоединений урана [12, 14—16] хорошо согласуются с нашими данными. Электросопротивление, теплопроводность и теплоемкость с ростом температуры увеличиваются (см. рис. 5); для фосфива урана наблюдается аномальное изменение ρ в интервале температур до 500°C и немонотонное изменение λ и C_p в районе 700°C . Эти аномалии можно заметить и в данных работы [3], где λ и C_p были измерены до 700°C . Характерно также, что в этом интервале температур немонотонно меняется и коэффициент линейного расширения, хотя коэффициент термо-э. д. с. остается постоянным ($\sim +50 \text{ мкв}/^\circ\text{C}$) при $T = 20 - 1100^\circ\text{C}$. Судя по этим данным, фосфид урана претерпевает при $T \approx 700^\circ\text{C}$ превращение второго рода, природа которого, однако, должна быть дополнитель но изучена.

Электросопротивление фосфива, нитрида, сульфида выше, чем у карбива; это связано с тем, что первые три соединения при низких температурах претерпевают магнитные превращения [17]. Судя по значению константы Холла ($R_{UP} = +55 \cdot 10^{-4}$, $R_{UC} = +1,4 \cdot 10^{-4} \text{ см}^3/\text{k}$) и коэффициента термо-э. д. с., эти соединения обладают дырочной проводимостью; их также относят к полуметаллическим. Уровень теплопроводности у них представляется достаточно высоким.

* Химический состав сульфида и фосфива (вес. %): US — 11,8; 0,05 N; 0,1 C; 0,25 ($UO_2 + UOS$); 0,1 W; UP — 11,7 P; 0,03 C; 0,7 O.

Для карбонитридов урана, образующих непрерывный ряд твердых растворов, свойства меняются в зависимости от концентрации довольно плавно (рис. 6); давление паров урана уменьшается при переходе от нитрида к карбиду [6]; в работе [18] на диаграмме плавкости отмечено наличие максимума вблизи состава $UC_{0,3}N_{0,7}$ ($T_{пл} \sim 2900^\circ C$).

Совместимость соединений урана и плутония с материалом оболочки. Исследование совместимости тугоплавких соединений урана и плутония с оболочкой в непосредственном контакте и через гелиевую и натриевую прослойку проводилось как в дoreакторных, так и в реакторных условиях. При изучении использовались микроструктурный, рентгеноструктурный и химический анализы, а также проводилось измерение механических свойств оболочек. Методика испытаний описана в работе [19]. Условия и результаты дoreакторных испытаний приведены в табл. 1.

Из таблицы видно, что карбид стехиометрического состава не взаимодействует с оболочкой при $800^\circ C$ ни через гелиевую, ни через натриевую прослойки. Карбид сверхстехиометрического состава не обнаруживает взаимодействия в случае гелиевого зазора, однако при наличии натриевого зазора наблюдается науглероживание оболочки. Так, при $800^\circ C$ за 4500 ч образуется зона взаимодействия $\sim 100\text{ мкм}$. Содержание углерода в стальной оболочке при этом повышается до 0,77 вес. %, что приводит к снижению пластичности на 70%. Характерная структура зоны взаимодействия приведена на рис. 7.

При изучении совместимости в непосредственном контакте наиболее реакционноспособным из исследованных соединений, естественно, оказался карбид урана. В этом случае наблюдалось как диффузионное проникновение урана на значительную глубину, так и выделение карбидных включений. Для нитрида и фосфида

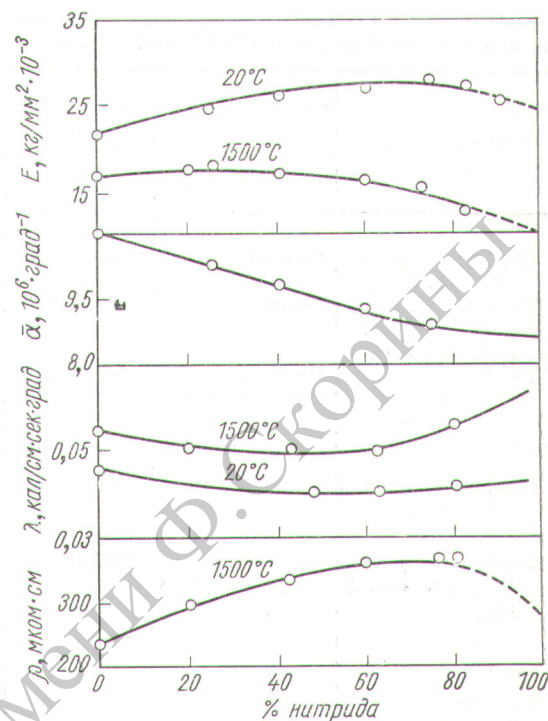


Рис. 6. Концентрационное изменение E , $\alpha_{20-1000}$, λ в системе $U - C - N$.

урана при $1000^\circ C$ отмечается очень слабое взаимодействие, однако при $1100^\circ C$ у фосфида образуется жидккая фаза за очень короткое время.

Поведение эквимолярного карбонитрида урана аналогично поведению нитрида, очевидно, вследствие существенного снижения активности углерода.

Улучшение совместимости карбидов сверхстехиометрического состава может быть достигнуто и за счет легирования хромом или цирконием, причем увеличение содержания хрома в карбиде с 5 до 9 вес. % оказывается



Рис. 7. Микроструктура зоны взаимодействия карбидом урана с оболочкой из стали ОХ16Н15М3Б:

a — дoreакторные испытания, $800^\circ C$, 450 ч, среда — натрий;
b — испытания в реакторе, $550^\circ C$, 6500 ч, среда — гелий, оболочка деформирована в результате распускания топлива. Видны трещины в науглероженном слое.

Совместимость высокотемпературных соединений урана и плутония с оболочкой из нержавеющей стали OX16H15M3B до облучения

Композиция	Условия испытаний				Результаты испытаний			
	Среда	Температура, °C	Время, ч	Содержание С в стали, % вес.	Глубина проникновения, мкм	углерода	урана	Изменение механических свойств стали
Карбид урана (4,8 вес. % С) То же Карбид урана (5,1 вес. % С) То же » »	Натрий Гелий » Натрий Непосредственный контакт	800	2500	0,06	Не наблюдалось	—	—	Не изменились
		800	2000	0,06	То же	—	—	»
		800	2000	0,06	» »	—	—	»
		800	4500	0,77	100	—	200—250	Ψ снизилось на 70% δ, σ _{0,2} снизились на 30—40% σ _b , σ _{0,2} повысились на 30—40% Не изменились
Нитрид урана UN _{0,92} C _{0,09} O _{0,02} То же Фосфид урана UP _{1,01} (5 вес. % O ₂) То же	To же » » » » » »	800	2500	То же	Не наблюдалось	5	—	»
		1000	2000	» »	То же	10	—	σ _b , σ _{0,2} повысились на 10—20%
		800	500	» »	» »	10	—	ψ, δ снизились на 10—20%
		1000	1000	» »	» »	15	—	σ _b , σ _{0,2} повысились на 10—20% ψ, δ снизились на 10—20% Не изменились
Фосфид урана UP _{1,01} (5 вес. % UO ₂) Карбонитрид урана UC _{0,45} N _{0,57} O _{0,02} То же Карбид урана, легированый хромом (5 вес. %) Карбид урана, легированный хромом (9 вес. %)	» » » » » » Натрий »	4100	2	» »	Образование жидкой фазы	—	—	» »
		800	2500	» »	Не наблюдалось	5	—	» »
		1000	2000	» »	То же	10	—	» »
		800	2500	0,4	» »	—	—	ψ снизилось на 10% Не изменились
Карбид урана, легированный цирконием U _{0,8} Zr _{0,7} C _{0,98} То же Карбид урана, покрытый хромом (5,1 вес. %) Карбид урана, покрытый ZrC То же	Непосредственный контакт То же Натрий Непосредственный контакт То же Натрий	800	5000	Не определялось	» »	Не наблюдалось	» »	» »
		1000	1000	То же	» »	То же	» »	» »
		800	4000	0,12	» »	» »	» »	» »
		800	2500	Не определялось	» »	» »	» »	» »
Смешанный карбид урана и плутония (U _{0,8} Pu _{0,2})C (5 об. % (UPu) ₂ C ₃)	To же Натрий	1000	1000	То же	» »	» »	» »	» »
		800	2500	0,14	10	» »	» »	ψ снизилось на 10—20%

переносчиком углерода, ускоряет взаимодействие.

Структура оболочки изменяется по всей толщине (400 мкм), однако микротвердость изменилась незначительно, и оболочка имела запас пластичности.

В случае заполнения зазора гелием при той же температуре зона взаимодействия не превышала 40 мкм .

Показано, что покрытие монокарбида урана сверхстехиометрического состава слоем хрома толщиной 25 мкм предохраняет оболочку от науглероживания при облучении даже в случае заполнения зазора натрием. Защитный слой хорошо сохранился.

Анализ результатов, приведенных в табл. 1 и 2, показывает, что характер взаимодействия под облучением остается в основном тем же самым, что и в обычных условиях. Однако скорость взаимодействия увеличивается, и заметное науглероживание оболочки наблюдается при $550—600^\circ\text{C}$, т. е. на $200—250^\circ\text{C}$ ниже, чем в случае предреакторных испытаний.

Поведение под облучением

Облучение высокотемпературных соединений урана и плутония проводится в экспериментальных сборках теплового реактора СМ-2, а также в быстром реакторе БР-5.

Конструкция твэлов с карбидным горючим была описана нами ранее [19]. Оболочки твэлов изготавливались из нержавеющей стали ОХ16Н15М3Б с толщиной стенки $0,3—0,4\text{ мкм}$. Плотность топлива составляла $90—93\%$ от теоретической. Пористость, заложенная в конструкцию твэла, находилась в пределах 20% и состояла из пор самих таблеток и диаметрального зазора «оболочка — топливо», величина которого колебалась от $0,18$ до $0,4\text{ мкм}$. Зазор заполнялся сплавом Na — K или гелием.

Необходимая температура на оболочке твэла создавалась термическим сопротивлением зазора между твэлом и наружным чехлом опытной ампулы. Для измерения температур на оболочке твэла в некоторые ампулы были введены хромель-альюмелевые микротермопары диаметром $0,2\text{ мкм}$. Термопары устанавливались в трех точках по высоте активной части твэла и нормально проработали более 1,5 лет. Термометрические измерения показали, что расчетные температуры были близки к фактическим. Образцы облучались при линейной мощности $300—600\text{ вт/см}$ до выгорания $3,5—6,3\%$ тяжелых атомов. Характеристика некоторых образцов и условия облучения приведены в табл. 3. Все твэлы после облучения при указанных условиях сохранили герметичность. Наибольшее увеличение диаметра оболочки в твэлах с максимальным выгоранием составило около 1%. Исследования показали, что средняя скорость распухания карбидного топлива (распухание, отнесенное к выгоранию, среднему по сечению) сильно зависит от температуры топлива (рис. 8). При температуре топлива $700—800^\circ\text{C}$ имеет место в основном «твердое» распухание. Скорость распухания при этом составляет 1% на 1% выгорания. При температуре $1000—1100^\circ\text{C}$ значительный вклад в распухание дают мелкие пузыри размером менее $0,5\text{ мкм}$ (рис. 9). При температуре $1400—1500^\circ\text{C}$ образуются газовые пузыри и полости (рис. 10), а скорость распухания составляет 3—4% на 1% выгорания. Количество и размеры пузырей и полостей увеличиваются от периферии к центру. В исходном состоянии пормало и они распределены равномерно по телу и границам зерна. После облучения они расположаются преимущественно по границам зерен. Крупных пор больше у более «горячих» границ, что вызвано их миграцией под действием градиента температур. Включения дикар-

Условия и результаты облучения монокарбида урана в реакторах БР-5 и СМ-2

Таблица 3

Порядковый номер	Содержание углерода в UC, вес. %	Максимальное выгорание, % тяжелых атомов	Температура в центре топлива (начальная), $^\circ\text{C}$	Температура оболочки (расчетная), $^\circ\text{C}$	Распухание на 1% выгорания	Газовыделение, %
1	5,3	0,8	1030	570	1,2	2
2	5,3	2,1	1030	570	1,2	2
3	5,3	3,0	1030	570	1,2	2
4	5,1	3,5	980	500	1,2	—
5	4,8—5,2	4,2	1250	530	2,5	7
6	4,9	6,3	1650	640	3,5	7

Примечание. № 1, 2, 3, 5 — облучение в реакторе БР-5, № 4, 6 — в реакторе СМ-2.

бida урана исчезают в процессе облучения. Значительное распухание карбидного топлива по сравнению с окисным вызвано способностью карбидного топлива удерживать газ в решетке, что, по-видимому, связано с различной диффузионной подвижностью газовых осколков в двуокиси и карбиде урана. Максимальное газовыделение из карбидного топлива в исследованных образцах составило 20%. Имеются сведения [1], что газовыделение при выгорании 10% составляет примерно 50%.

Рентгенографический анализ показал, что дифракционные максимумы сохраняются после облучения во всех исследованных образцах, период решетки монокарбида урана уменьшается. Наибольшее уменьшение периода решетки составило 0,16%. Знание скорости распухания позволяет оценить величину пористости, которая необходима для обеспечения нормальной работы твэла. Введение в твэл натриевой прослойки между топливом и оболочкой понижает температуру топлива, что, по-видимому, позволит получить выгорание 10% при высоких тепловых нагрузках. Более трудной задачей является достижение такого выгорания в твэлах с газовой прослойкой между топливом и оболочкой. По данным наших экспериментов, такие твэлы работоспособны до выгорания 6%, однако оболочка имела деформацию, близкую к критической. Достижение более высокого выгорания возможно, по-видимому, за счет уменьшения эффективной плотности топлива, а также варьирования характера распределения исходной пористости.

Эти и некоторые другие вопросы, от решения которых зависит использование перспективных видов высокотемпературного уран-плутониев-

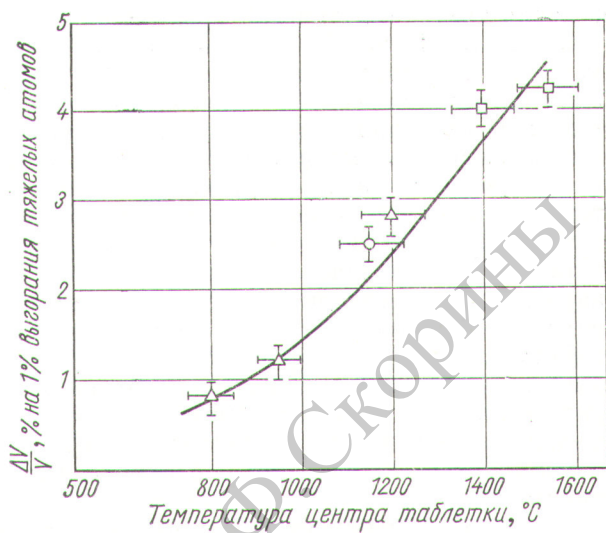


Рис. 8. Зависимость скорости распухания карбида урана от температуры в центре таблетки. Выгорание 3,5—6,3% тяжелых атомов:

△○ — свободное распухание; □ — распухание в условиях сдерживания оболочкой.

вого горючего, включены в программу дальнейшего исследования на реакторе БОР-60. С этой целью были изготовлены четыре пакета, состоящие из 76 твэлов с карбидным сердечником. Опытные пакеты будут облучены до выгорания 3; 5; 7 и 10 вес.%. Будет подробно изучено влияние различных технологических схем изготовления сердечников из карбида урана и состава топлива на стойкость под облучением; проверен ряд конструктивных решений; изучена совместимость сердечников из карбида урана с нержавеющими стальюми в среде гелия и натрия. Возможность использо-

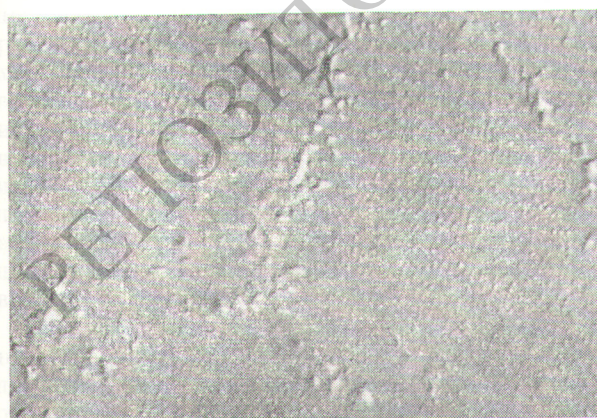


Рис. 9. Микроструктура карбида урана после облучения до выгорания 4,4% при температуре 1000° С ($\times 7500$).

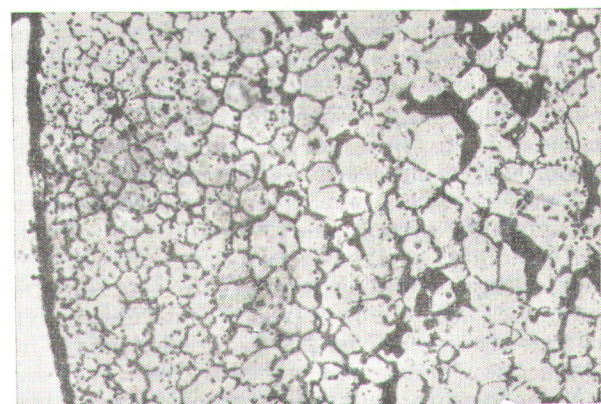


Рис. 10. Микроструктура сердечника из карбида урана. Выгорание 6,3%, начальная температура в центре брикета \sim 1600° С ($\times 200$).

зования твэлов с натриевой прослойкой весьма заманчива. Наиболее полно преимущества карбидного топлива можно реализовать в твэлах с натриевой прослойкой, которая вследствие высокой теплопроводности позволяет снимать высокие линейные мощности ($1000-1300 \text{ вт/см}$) при диаметре твэла $10-12 \text{ мм}$. Более высокие тепловые нагрузки создают недопустимо большие термические напряжения в оболочке. При гелиевом подслое наиболее полно преимущества карбидного топлива реализуются при диаметрах твэла $6-7 \text{ мм}$. Так как применение в реакторах твэлов больших диаметров снижает удельные нагрузки и на первом этапе развития быстрых реакторов стоимость плутония высока, по-видимому, в первых загрузках более широкое применение найдут твэлы с гелиевым подслоем.

В составе экспериментальных пакетов исследуются оба варианта конструкции твэлов: а) твэлы с сердечником из карбида урана в среде гелия; б) твэлы с сердечником из карбита урана в среде натрия. Будет также изучено поведение твэлов с сердечниками из нитридов, сульфидов и других соединений урана и плутония.

Заключение

1. Изучены основные закономерности в температурном интервале $20-2000^\circ \text{C}$ ряда теплофизических и механических свойств (теплопроводности, электросопротивления, теплоемкости, коэффициента линейного расширения, твердости, модуля упругости и др.) карбида, нитрида, карбонитрида, сульфида и фосфида урана.

2. Наряду с общепринятыми способами получения тугоплавких соединений урана и плутония из двуокиси проработан метод газовой гетерогенной карбидизации и нитрирования исходных материалов, привлекательный с точки зрения простоты аппаратурного оформления, снижения температуры процессов, возможности механизации и автоматизации операций получения сердечников твэлов.

3. Исследована совместимость тугоплавких соединений урана и плутония со сталью 0Х16Н15М3В в условиях дормекторных и реакторных испытаний. Установлено, что характер взаимодействия одинаков, однако температура начала взаимодействия UC с оболочкой под облучением снижается на $200-250^\circ \text{C}$. В случае карбидного топлива взаимодействие выражается карбидизацией оболочки на глубину

$100-400 \mu\text{m}$, что, однако, не приводит к разрушению твэлов. Показано, что совместимость может быть улучшена нанесением на сердечник защитных покрытий (хром, титан, цирконий и др.).

4. Твэлы с карбидным и карбонитридным топливом были облучены без разрушения до выгорания 6,3% тяжелых атомов при линейной мощности 600 вт/см и температуре в центре до 1600°C . Установлена зависимость распускания карбидного топлива от температуры. Показано, что газовыделение из карбидного топлива при выгорании до 6,3% достигает 20%.

Авторы выражают глубокую благодарность Р. А. Андреевскому, В. И. Кузьмину, Г. В. Калашник, А. С. Панову, А. С. Пискуну, Б. Д. Рогозину, любезно предоставившим материалы, вошедшие в настоящий доклад.

ЛИТЕРАТУРА

1. A. Strassler, J. Kittel. Paper presented at AIME Nuclear metallurgy Symposium on Plutonium Fuels Technology. Phoenix, 1967.
2. Р. Б. Котельников и др. Высокотемпературное ядерное горючее. М., Атомиздат, 1969.
3. J. Moser, O. Krueger. J. Appl. Phys., 38, 3215 (1967).
4. M. Allibut, K. Deel. J. Nucl. Mater., 24, 1 (1967).
5. J. Baskin. J. Amer. Ceram. Soc., 49, 541 (1966).
6. Р. А. Андреевский и др. «Атомная энергия», 26, 494 (1969).
7. V. Storhok, V. Martin, J. Gates. High-Temperature Nuclear Fuels, 42, 254 (1968).
8. T. Paszkos et al. Third Intern. Conf. Peaceful Uses of Atomic Energy. Unit. Nat. Vol. II, 1965, p. 472.
9. D. Brown, J. Stobbs. Trans. Brit. Ceram. Soc., 62, 177 (1963).
10. A. Hall. AERE-R-5650, 1967.
11. R. Beals, J. Handwerk, G. Dragel. High-Temperature Technology. London, 1969, p. 265.
12. E. Storms. Thermodynamics. Vol. I. Vienna, 1966, p. 309.
13. C. Alexander, J. Ogden, W. Pardue. J. Nucl. Mater., 31, 13 (1969).
14. R. Gingerich. Chem. Phys., 51, 4433 (1969).
15. R. Gingerich, P. Lee. Ibid., 40, 3520 (1964).
16. E. Carter, E. Raugh, P. Thorn. Ibid., 44, 306 (1966).
17. J. Crunzweig-Gomossar, M. Kuzmitcz, F. Friedman. Phys. Rev., 173, 562 (1968).
18. R. Benz. J. Nucl. Mater., 31, 93 (1969).
19. I. S. Golovnin et al. In: «Fast Reactor Irradiation Testing» Proc. Intern. Conf. Held at Thurso (Scotland, 1969), 1969.
20. R. Pascard. Intern. Symp. on Plutonium Fuels Technology, Nuclear Metallurgy. Vol. 13, 1968.